

# 轴对称物体上的三阶波浪力\*

滕 斌 李玉成 董国海

(大连理工大学海岸和近海工程国家重点实验室, 大连 116024)

**摘 要** 对于轴对称物体, 提出了一个三阶波浪力的全绕射计算方法, 自由水面上的三阶强迫项采用向外递推的方法加以计算. 本方法已在计算机上实现. 对于均匀圆柱问题, 本方法计算结果与 Malenica 的半解析解吻合良好. 本方法还被用于计算圆柱上的三阶波浪力矩, 结果发现在低频区三阶波浪力矩具有很大的量值.

**关键词** 波良力 非线性 轴对称物体

**中图分类号:** P731.2

## 1 引言

在模型实验和现场观测中发现, 在大风暴中张力腿平台和重力基础结构会产生大振幅的共振响应. 这一现象被称为“钟振(ringing)”现象. 通过观测发现钟振现象发生在低频、非破碎的大风浪中, 钟振频率是对应入射波浪频率的 3~5 倍. 这意味着三阶和更高阶波浪作用力是钟振现象的激振根源. 因此, 三阶波浪力的计算对预测钟振现象是十分有意义的.

在过去几年中, 国际海洋工程界有几个研究组开展了钟振现象的研究. 依据钟振现象发生在长波中的观测结果, Faltinsen 等<sup>[1]</sup>提出了一个细圆柱的三阶波浪力计算方法, 该方法完全忽略了二阶绕射势的影响, 三阶波浪力采用一种 Morison 公式的扩展形式加以计算. 目前, 唯一看到的全绕射理论是 Malenica 等<sup>[2]</sup>的均匀圆柱的半解析结果. 对于这一简单几何形状, 依据已经建立的二阶半解析理论, Malenica 等建立了三阶全绕射波浪作用力的计算方法. 通过比较发现, Faltinsen 等的细圆柱理论在低频区与 Malenica 等的理论吻合良好, 而当入射波频率不是很低时, 两者存在着明显的差别.

本文提出了一个轴对称物体上三阶波浪作用力的全绕射计算方法. 对于这一结构的特征, 本文提出了一个新的积分方程, 并利用环向波动源进行求解. 对于自由水面上的三阶强迫项, 本文应用了一个向外递推的方法用于加快计算. 本方法已在计算机上得到了实现, 对均匀圆柱物体做了计算, 用于验证本方法的正确性. 通过计算发现, 对于水平波浪力本方法与

本文于 1998-08-27 收到, 修改稿于 1998-11-13 收到.

\* 国家自然科学基金资助项目(编号:59779006).

第一作者简介:滕 斌, 男, 42 岁, 教授, 博士, 从事波浪与结构相互作用方面的研究.

Malenica 等的结果吻合良好. 应用这一程序, 本文还计算了三阶波浪力矩, 结果发现在低频区, 三阶波浪力矩具有很大的量值.

## 2 自由水平条件

对于波浪与具有铅垂轴轴对称固定物体的相互作用问题, 定义一个右手坐标系,  $z$  轴向上为正,  $z=0$  在自由水面上, 坐标原点在物体的对称轴上(图 1). 假设流体是理想流体, 其运动是无旋的, 这样存在一个速度势函数并满足拉普拉斯方程. 在瞬时水面上, 速度势满足非线性边界条件:

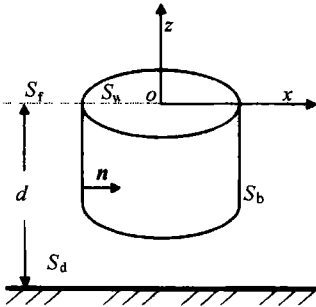


图 1 定义图

$$\Phi_{tt} \cdot g\Phi_z + \frac{\partial}{\partial t} [\nabla\Phi \cdot \nabla\Phi] + \frac{1}{2} \nabla\Phi \cdot \nabla(\nabla\Phi \cdot \nabla\Phi) = 0. \quad (1)$$

为了求解我们应用摄动展开方法, 将速度势按波陡参数  $\epsilon = kA$  ( $k$  为波数,  $A$  为波幅) 展开. 为了研究钟振现象, 对于具有  $\omega$  频率入射的单色入射波浪, 我们仅研究具有  $\omega_1 = \omega$ ,  $\omega_2 = 2\omega$  和  $\omega_3 = 3\omega$  的一阶、二阶和三阶简谐运动势. 这样, 可分离出各阶波浪运动势的时间因子为

$$\Phi^{(j)}(x, y, z, t) = \text{Re}[\phi^{(j)}(x, t, z)e^{-i\omega_j t}], \quad j = 1, 2, 3. \quad (2)$$

展开自由水面条件成为摄动级数, 按相同的  $\epsilon$  量级整理后, 可得到各阶速度势的自由水面条件为

$$\left. \begin{aligned} -\nu_j \phi^{(j)} + \phi_z^{(j)} &= q^{(j)} \quad \text{在 } z=0 \text{ 上} \\ \nu_j &= \omega_j^2/g \quad j = 1, 2, 3 \end{aligned} \right\}, \quad (3)$$

式中, 各阶强迫项为

$$q^{(1)} = 0; \quad (4a)$$

$$q^{(2)} = -\frac{i\omega}{2g} [-\nu_1 \phi_z^{(1)} + \phi_{zz}^{(1)}] + \frac{i\omega}{g} \nabla\phi^{(1)} \cdot \nabla\phi^{(1)}; \quad (4b)$$

$$\begin{aligned} q^{(3)} &= \frac{3i\omega}{g} \nabla\phi^{(1)} \cdot \nabla\phi^{(2)} - \frac{i\omega}{2g} \phi^{(1)} [\phi_{zz}^{(2)} - \nu_2 \phi_z^{(2)}] - \frac{i\omega}{g} [\phi_{zz}^{(1)} - \nu_1^2 \phi^{(1)}] \phi^{(2)} - \\ &\quad \frac{1}{8g} \nabla\phi^{(1)} \cdot \nabla[\nabla\phi^{(1)} \cdot \nabla\phi^{(1)}] - \frac{\nu_1^2}{g} \phi^{(1)} \nabla\phi^{(1)} \cdot \nabla\phi^{(1)} + \\ &\quad \frac{1}{g} \left[ \frac{\nu_1^2}{4} \phi^{(1)} \phi^{(1)} + \frac{1}{8} \nabla\phi^{(1)} \cdot \nabla\phi^{(1)} \right] [\phi_{zz}^{(1)} - \nu_1^2 \phi^{(1)}]. \end{aligned} \quad (4c)$$

由上式可以看出, 自由水面上的三阶强迫项同时包含着一阶和二阶速度势.

## 3 积分方程

把速度势分解为入射势  $\phi_i^{(j)}$  和绕射势  $\phi_d^{(j)}$ , 应用振荡频率为  $\omega_j$  并满足自由水面条件的脉动源为格林函数, 可得到各阶绕射势的积分方程<sup>[3]</sup>:

$$\begin{aligned} [1 - \nu_j] \iint_{S_w} G(x; x_0) ds \phi_d^{(j)}(x_0) + \iint_{S_b} \frac{\partial G(x; x_0)}{\partial n} [\phi_d^{(j)}(x_0) - \phi_d^{(j)}(x)] ds = \\ \iint_{S_b} G(x; x_0) \frac{\partial \phi_i^{(j)}(x)}{\partial n} ds - \iint_{S_i} G(x; x_0) q_d^{(j)} ds, \end{aligned} \quad (5)$$

式中,  $S_b$ ,  $S_f$  和  $S_w$  表示物面、自由水面和物体内部水面;  $q_d^{(j)}$  是总强迫项与人射势强迫项之差; 物面的单位法向量  $\mathbf{n}$  以指出流体为正;  $x$  和  $x_0$  分别为场点和源点的坐标.

对于轴对称物体, 展开速度势和格林函数成为傅里叶级数:

$$\phi_d^{(j)}(x) = \sum_{m=0}^{\infty} \epsilon_m \phi_{dm}^{(j)} \cos m\theta, \quad (6a)$$

$$q_d^{(j)}(x) = \sum_{m=0}^{\infty} \epsilon_m q_{dm}^{(j)} \cos m\theta, \quad (6b)$$

$$G(x; x_0) = \sum_{m=0}^{\infty} \epsilon_m G_m(r, z; r_0, z_0) \cos m(\theta - \theta_0), \quad (6c)$$

式中,  $\epsilon_m$  为 Neumann 系数 ( $m=0$  为 1,  $m>0$  为 2), 这样, 第  $j$  阶速度势  $m$  阶傅氏分量的积分方程可写为

$$\begin{aligned} & \left[ \frac{1}{2\pi} - \nu_j \int_0^a G_0 r dr \right] \phi_{dm}^{(j)}(r_0) - \int_{\Gamma_b} \left[ \frac{\partial G_0}{\partial n} \phi_{dm}^{(j)}(r_0) - \frac{\partial G_m}{\partial n} \phi_{dm}^{(j)}(r) \right] r dl = \\ & \int_{\Gamma_b} G_m \frac{\partial \phi_{im}^{(j)}}{\partial n} r dl + \int_a^{\infty} G_m q_{dm}^{(j)}(r) r dr, \end{aligned} \quad (7)$$

式中,  $a$  是物体在水面处的半径;  $\Gamma_b$  是  $S_b$  在  $y=0$  平面内的截迹 (图 2). 环向格林函数  $G_m$  为

$$\begin{aligned} G_m(r, z; r_0, z_0) &= -\frac{1}{2} C_0 H_m(k_j r_>) J_m(k_j r_<) \cdot \\ Z_0(k_j z) Z_0(k_j z_0) &- \frac{1}{\pi} \sum_{n=1}^{\infty} C_n K_m(\kappa_{jn} r_>) I_m(\kappa_{jn} r_<) \cdot \\ Z_n(\kappa_{jn} z) Z_n(\kappa_{jn} z_0) & \quad (r_> > r_<), \end{aligned} \quad (8)$$

式中,  $J$  和  $H$  表示贝塞尔函数和第一类汉开尔函数;  $I$  和  $K$  表示第一类和第二类修正贝塞尔函数;  $k_j$  和  $\kappa_{jn}$  由下述色散关系定义:

$$\nu_j = k_j \tanh(k_j d), \quad (9a)$$

$$\nu_j = -\kappa_{jn} \tan(\kappa_{jn} d), \quad (9b)$$

其中  $d$  为水深; 垂向分布函数  $Z_0$  和  $Z_n$  为

$$Z_0(k_j z) = \frac{\cosh k_j(z+d)}{\cosh k_j d}; \quad (10a)$$

$$Z_n(\kappa_{jn} z) = \frac{\cos \kappa_{jn}(z+d)}{\cos \kappa_{jn} d}; \quad (10b)$$

$C_0$  和  $C_n$  为规范化系数:

$$C_0 = [2 \int_{-d}^0 Z_0^2(k_j z) dz]^{-1}; \quad (11a)$$

$$C_n = [2 \int_{-d}^0 Z_n^2(\kappa_{jn} z) dz]^{-1}. \quad (11b)$$

分析发现<sup>[4]</sup>, 当场点接近于源点时各阶脉动源具有相同的对数奇异核, 而导数的主导项为距离的倒数. 这样, 上述积分方程可自动地消除奇异核的影响.

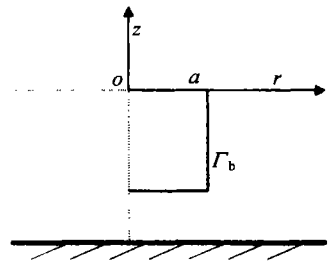


图 2 轴对称物体的积分路径

## 4 自由水面上的二阶势

在三阶问题的计算中,三阶强迫项是作用在整个自由水面上的,其中包含的二阶势需采用上述积分方程方法加以计算.由于环向格林函数的定义是间断的,对于不同位置的二阶势,需独立地进行自由水面上的无穷积分,这对形成整个自由水面上的强迫项是十分不经济的.在本文的计算中,应用了一个向外递推的方法,以加快计算的进行.

对于自由水面上离坐标中心为  $r_0$  处的速度势,其自由水面积分为

$$I_{fm}(r_0, 0) = -C_0[S_{m0}(r_0)J_m(k_2r_0) + T_{m0}(r_0)H_m(k_2r_0)] - \sum_{n=1}^{\infty} C_n[S_{mn}(r_0)e^{-\kappa_{2n}r_0}I_m(\kappa_{2n}r_0) + T_{mn}(r_0)e^{\kappa_{2n}r_0}K_m(\kappa_{2n}r_0)], \quad (12)$$

式中,

$$S_{m0}(r_0) = \frac{i\pi}{2} \int_{r_0}^{\infty} q_{dm}^{(2)}(r)H_m(k_2r)rdr, \quad (13a)$$

$$S_{mn}(r_0) = \int_{r_0}^{\infty} q_{dm}^{(2)}(r)K_m(\kappa_{2n}r)rdr e^{\kappa_{2n}r_0}, \quad n > 0, \quad (13b)$$

$$T_{m0}(r_0) = \frac{i\pi}{2} \int_a^{r_0} q_{dm}^{(2)}(r)J_m(k_2r)rdr, \quad (13c)$$

$$T_{mn}(r_0) = \int_a^{r_0} q_{dm}^{(2)}(r)I_m(\kappa_{2n}r)rdr e^{\kappa_{2n}r_0}, \quad n > 0. \quad (13d)$$

对于在  $r_0$  外侧  $r_1$  点处的对应值,可利用  $r_0$  点的已知值和下述递推关系求得:

$$S_{m0}(r_1) = S_{m0}(r_0) - \frac{i\pi}{2} \int_{r_0}^{r_1} q_{dm}^{(2)}(r)H_m(k_2r)rdr, \quad (14a)$$

$$S_{mn}(r_1) = S_{mn}(r_0)e^{\kappa_{2n}(r_1-r_0)} - \int_{r_0}^{r_1} q_{dm}^{(2)}(r)K_m(\kappa_{2n}r)rdr e^{\kappa_{2n}r}, \quad (14b)$$

$$T_{m0}(r_1) = T_{m0}(r_0) + \frac{i\pi}{2} \int_{r_0}^{r_1} q_{dm}^{(2)}(r)J_m(k_2r)rdr, \quad (14c)$$

$$T_{mn}(r_1) = T_{mn}(r_0)e^{-\kappa_{2n}(r_1-r_0)} - \int_{r_0}^{r_1} q_{dm}^{(2)}(r)I_m(\kappa_{2n}r)rdr e^{-\kappa_{2n}r}. \quad (14d)$$

应用这一方法可节省大量的计算工作量,但经过一定距离的递推后,  $S_{mn}$  项会失去精度.研究发现<sup>[5]</sup>,对于不同的模态,其最大可递推距离是不同的.计算中采用的策略是在失真前重新采用直接方法进行计算,然后开始新一轮的递推.

## 5 三阶波浪力

波浪作用力可通过物体表面上的水动力压强积分而得到.如同速度势函数,波浪力也可展开成波陡的摄动级数.为了研究钟振现象,我们将仅对以 3 倍入射波频率振荡的三阶波浪力加以研究.

根据不同阶数速度势的贡献,分解三阶波浪力为下述三个分量:

$$f_1^{(3)} = -\frac{i\omega\rho}{8g} \oint_{C_b} \{ \phi^{(1)} \nabla\phi^{(1)} \cdot \nabla\phi^{(1)} + v_1^2[\phi^{(1)}]^3 \} n dl, \quad (15a)$$

$$f_2^{(3)} = -\frac{\rho}{2} \iint_{S_b} \nabla \phi^{(1)} \cdot \nabla \phi^{(2)} n ds - \rho \nu_1 \oint_{C_b} \phi^{(1)} \phi^{(2)} n dl, \quad (15b)$$

$$f_3^{(3)} = 3i\omega\rho \iint_{S_b} [\phi_d^{(3)} + \phi_i^{(3)}] n ds, \quad (15c)$$

式中,  $C_b$  是物体的水线. 当求得物面上的一阶和二阶势后, 前两个分量可直接积分求得. 对于第三项的各方向分量, 利用一个  $3\omega$  频率振荡的辐射势  $\psi_j$ , 可将其变换为

$$f_{3j}^{(3)} = 3i\omega\rho \iint_{S_b} [\phi_i^{(3)} n_j - \psi_j \frac{\partial \phi_i^{(3)}}{\partial n}] ds + 3i\omega\rho \iint_{S_f} \psi_j q_d^{(3)} ds, \quad (16)$$

式中,  $j=1$  和  $2$  分别表示  $x$  和  $z$  方向的作用力,  $j=3$  表示对  $y$  轴的力矩; 对应的辐射势满足下述的物面边界条件:

$$\frac{\partial \psi_1}{\partial n} = n_1 = n_r \cos \theta, \quad (17a)$$

$$\frac{\partial \psi_2}{\partial n} = n_2 = n_z, \quad (17b)$$

$$\frac{\partial \psi_3}{\partial n} = n_3 = (zn_r - rn_z) \cos \theta, \quad (17c)$$

式中,  $n_r$  和  $n_z$  分别为法向量在径向和垂向的分量.

在三阶强迫项中还存在着二阶势的二阶空间导数, 直接计算难度较大, 对于这一积分本文应用下述变换进行处理:

$$\iint_{S_f} \psi_j \phi^{(1)} \phi_{dzz}^{(2)} ds = \iint_{S_f} [\psi_j \nabla_0 \phi^{(1)} + \phi^{(1)} \nabla_0 \psi_j] \cdot \nabla_0 \phi_d^{(2)} ds + \oint_{C_b} \psi_j \phi^{(1)} \frac{\partial \phi_i^{(2)}}{\partial n} dl, \quad (18)$$

式中,  $\nabla_0$  是一水平面内的二维梯度算子.

将辐射势、三阶入射势和自由水面上的强迫项按式(6)方式展开成傅氏级数后, 第三项三阶力在  $x$  方向的分力可写为

$$\begin{aligned} \frac{f_{31}^{(3)}}{6i\omega\rho\pi} &= \int_{\Gamma_b} [\phi_{i1}^{(3)} n_r - 2\varphi_{11} \frac{\partial \phi_{i1}^{(3)}}{\partial n_r}] r dl + 2 \int_a^\infty \varphi_{11} [q_{a1}^{(3)} - q_{a1i}^{(3)}] r dr + \\ &\int_a^\infty \{ \varphi_{11} [2W - 2W_i - \frac{i\omega}{g} \phi_d^{(1)} \phi_{izz}^{(2)} - \frac{i\omega}{g} \nabla_0 \phi^{(1)} \cdot \nabla_0 \phi_d^{(2)}]_1 - \\ &\frac{i\omega}{g} \phi_i^{(1)} [\nabla_0 \varphi_1 \cdot \nabla_0 \phi_d^{(2)}]_1 \} r dr + \frac{i\omega a}{g} \varphi_{11} [\phi^{(1)} \frac{\partial \phi_i^{(2)}}{\partial r}]_1 |_{r=a}; \end{aligned} \quad (19)$$

在  $z$  方向分力为

$$\begin{aligned} \frac{f_{32}^{(3)}}{6i\omega\rho\pi} &= \int_{\Gamma_b} [n_z \phi_{i0}^{(3)} - \varphi_{20} \frac{\partial \phi_{i0}^{(3)}}{\partial n_r}] r dl + \int_a^\infty \varphi_{20} [q_{a0}^{(3)} - q_{a0i}^{(3)}] r dr + \\ &\int_a^\infty \{ \varphi_{20} [W - W_i - \frac{i\omega}{2g} \phi_d^{(1)} \phi_{izz}^{(2)} - \frac{i\omega}{2g} \nabla_0 \phi^{(1)} \cdot \nabla_0 \phi_d^{(2)}]_0 - \\ &\frac{i\omega}{2g} \phi_0^{(1)} [\nabla_0 \psi_2 \cdot \nabla_0 \phi_d^{(2)}]_0 \} r dr + \frac{i\omega a}{2g} \varphi_{20} [\phi^{(1)} \frac{\partial \phi_i^{(2)}}{\partial r}]_0 |_{r=a}; \end{aligned} \quad (20)$$

关于  $y$  轴的力矩为

$$\begin{aligned} \frac{f_{33}^{(3)}}{6i\omega\rho\pi} = & \int_{\Gamma_b} [(zn_r - rn_z)\phi_{il}^{(3)} - 2\varphi_{31} \frac{\partial\phi_{il}^{(3)}}{\partial n_r}] dl + 2 \int_a^\infty \varphi_{31} [q_{a1}^{(3)} - q_{a1l}^{(3)}] r dr + \\ & \int_a^\infty \{ \varphi_{31} [2W - 2W_i - \frac{i\omega}{g} \phi_d^{(1)} \phi_{izz}^{(2)} - \frac{i\omega}{g} \nabla_0 \phi^{(1)} \cdot \nabla_0 \phi_d^{(2)}]_1 - \\ & \frac{i\omega}{g} \phi_1^{(1)} [\nabla_0 \varphi_3 \cdot \nabla_0 \phi_d^{(2)}]_1 \} r dr + \frac{i\omega a}{g} \varphi_{31} [\phi^{(1)} \frac{\partial\phi_i^{(2)}}{\partial n}]_1 |_{r=a}, \end{aligned} \quad (21)$$

上列式中  $\varphi_{jm}$  是  $\psi_j$  的傅氏分量;  $q_a^{(3)}$  和  $W$  分别定义为

$$\begin{aligned} q_a^{(3)} = & -\frac{1}{8g} \nabla\phi^{(1)} \cdot \nabla[\nabla\phi^{(1)} \cdot \nabla\phi^{(1)}] - \frac{\nu_1^2}{g} \phi^{(1)} \nabla\phi^{(1)} \cdot \nabla\phi^{(1)} + \\ & \frac{1}{g} [\frac{\nu_1^2}{4} \phi^{(1)} \phi^{(1)} + \frac{1}{8} \nabla\phi^{(1)} \cdot \nabla\phi^{(1)}] [\phi_{zz}^{(1)} - \nu_1^2 \phi^{(1)}], \end{aligned} \quad (22a)$$

$$W = \frac{i\omega}{g} \{ 3 \nabla\phi^{(1)} \cdot \nabla\phi^{(2)} + 5\nu\phi^{(1)}\phi^{(2)} - \phi^{(2)} [\phi_{zz}^{(1)} - \nu^2\phi^{(1)}] \}. \quad (22b)$$

## 6 数值结果

为了验证本方法的正确性, 本文对半径为  $a$ , 水深  $d/a = 10$  中的均匀圆柱做了计算. 图 3 是本文计算的三阶水平波浪力与 Malenica 等<sup>[2]</sup>半解析结果, 以及 Moe<sup>[6]</sup>实验结果的对比较. 从比较中看到, 本文结果与 Malenica 等的结果吻合很好; 与实验结果相比, 其大体趋势是一致的, 因实验结果有些离散, 无法得出更多的结论.

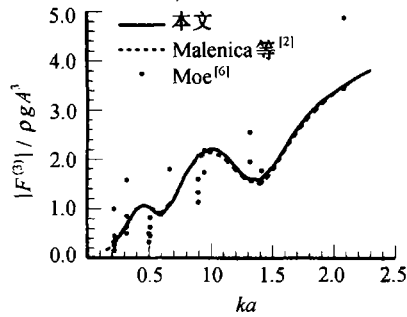


图 3 均匀圆柱( $d/a = 10$ )上的三阶水平力

图 4 与图 5 是本文计算的关于自由水面的三阶波浪力矩, 关于三阶力矩目前尚未找到适当的实验和计算资料可供比较. 图 4a 和图 4b 分别是各分量的实部和虚部,  $M_i$  表示三个分量的总和. 图 5 是总力矩的幅值, 由图中可以看到, 三阶势贡献项是总力矩的主要部分, 而且在低频区无量纲波浪力力矩具有很大的峰值. 在低频区由于波长很长, 极限波高会很大, 这一力矩将会引起张力腿平台等系统的强烈共振响应. 与图 3 对比可以发现, 在低频区波浪作用力并不很大, 这说明其力的作用点较深.

与图 3 对比可以发现, 在低频区波浪作用力并不很大, 这说明其力的作用点较深.

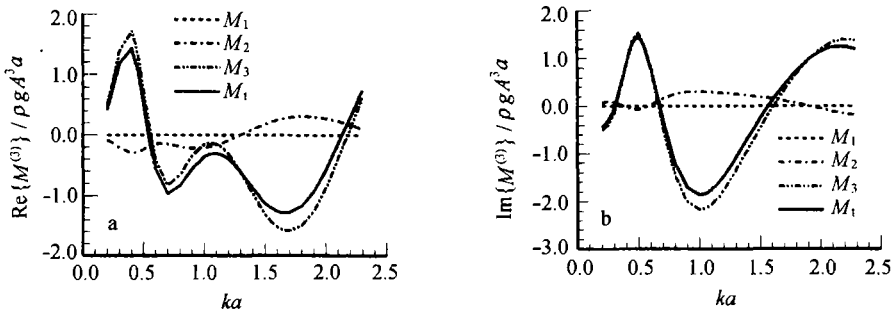


图 4 均匀圆柱( $d/a = 10$ )上关于  $y$  轴三阶力矩的各个部分

图6和图7是水深  $d/a = 10$  中,吃水  $T/a = 3$  的截断圆柱上的三阶水平波浪作用力和力矩. 对于这一算例,目前尚未见到可供比较的资料. 从与均匀圆柱的对比中可以看到,在该吃水深度下,三阶水平波浪作用力与均匀圆柱上的基本相同;三阶力矩在低频区明显低于均匀圆柱上的力矩,但在高频区两者上的力矩基本上是一致的.

## 7 结语

7.1 本文应用边界元方法,建立了一个轴对称物体上三阶波浪作用力的计算方法. 在本方法中自由水面上的二阶

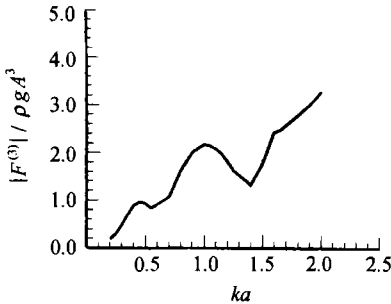


图6 截断圆柱( $T/a = 3$ ,  $d/a = 10$ )上的三阶水平力

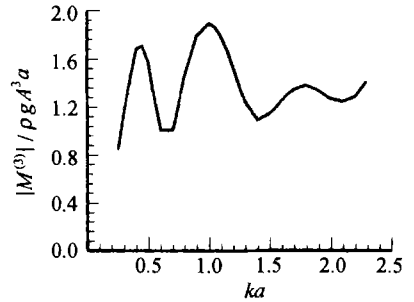


图5 均匀圆柱( $d/a = 10$ )上关于  $y$  轴的总力矩

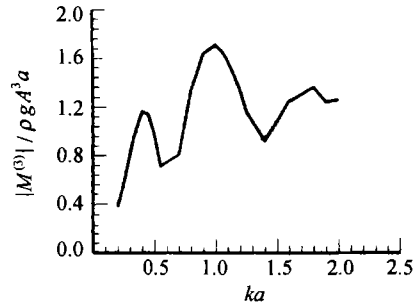


图7 截断圆柱( $T/a = 3$ ,  $d/a = 10$ )上关于  $y$  轴的三阶力矩

速度势应用一递推方法快速地计算,从而可以有效地形成自由水面上的三阶强迫项. 这一方法也可用于任意三维物体的计算.

7.2 应用本方法分别对均匀圆柱和截断圆柱做了计算,通过对均匀圆柱上三阶水平作用力的比较发现,本方法与 Malenica 等<sup>[2]</sup>的半解析结果吻合良好. 三阶力矩结果在低频区有一很高的峰值. 截断圆柱上的波浪力与均匀圆柱上的十分接近,但力矩值在低频区较低,在高频区两者较为接近.

## 参考文献

- 1 Faltinsen O N, Newman J N, Vinje T. Nonlinear wave loads on a slender vertical cylinder. *Jour Fluid Mech*, 1995, 289:179~198
- 2 Malenica S, Molin B. Third-harmonic wave diffraction by a vertical cylinder. *Jour Fluid Mech*, 1995, 302:203~229
- 3 Teng B, Eatock Taylor R. New higher-order boundary element methods for wave diffraction/radiation. *Applied Ocean Research*, 1995, 17:71~77
- 4 Fenton J D. Wave forces on vertical bodies of revolution. *Jour Fluid Mech*, 1978, 85:241~255
- 5 Teng B, Kato S. A method for second-order diffraction potential from a axisymmetric body. *Ocean Eng*, 1999, 26: 1 359~1 387
- 6 Moe G. Vertical resonant motions of TLP's. Final Report, 1993, NTH Rep. R-1-93

## A method for third-order wave force on axisymmetric bodies

Teng Bin,<sup>1</sup> Li Yucheng,<sup>1</sup> Dong Guohai<sup>1</sup>

1. *State Key Laboratory of Coastal and Offshore Engineering, Dalian University of Technology, Dalian 116024*

**Abstract**—A third-order diffraction theory for the third-order wave loads is proposed. The method has been implemented for bodies of revolution with vertical axes, but the theory is also available for arbitrary bodies. A numerical examination is made to validate the numerical code by comparing the third-order force on a uniform cylinder. The method has also been used to compute the third-order moments.

**Key words** Wave force, nonlinearity, axisymmetric body